

УДК 519.28

# ПОСТРОЕНИЕ ПРЯМЫХ И ОБРАТНЫХ СТАТИЧЕСКИХ ХАРАКТЕРИСТИК ОБЪЕКТОВ ПО ИНТЕРВАЛЬНЫМ ДАННЫМ

© Н. В. Скибицкий<sup>1</sup>*Статья поступила 24 августа 2016 г.*

Рассмотрен подход к построению статических характеристик систем по экспериментальным данным, основанный на предположении, что ошибки эксперимента ограничены по величине. Предложена процедура обработки представленных в интервальной форме данных, позволяющая определить гарантированный интервал неопределенности статической характеристики. Предлагаемый подход, в отличие от статистического, позволяет учесть любую априорную информацию об ошибках как во входной, так и в выходной переменных, включая результаты дублирования опытов, сведения об абсолютных и относительных ошибках, ошибках округления, а также экспертную информацию.

**Ключевые слова:** статическая характеристика; ошибки переменных; интервальная неопределенность; эксперимент.

Модели, позволяющие получить описание объекта путем аналитического представления неточных экспериментальных данных, применяются для решения широкого класса прикладных технических, экономических и других задач. Поэтому актуальными являются задачи построения:

прямой статической характеристики объекта, связанной с оценкой значения  $y$  при заданном значении  $x$ , вида

$$y = f(x) = b_1\phi_1(x) + \dots + b_m\phi_m(x), \quad (1)$$

где  $\phi_i(x)$  — известные базисные функции;  $b_i$  — неизвестные параметры;  $x$  — независимая (входная) переменная;  $y$  — зависимая (выходная) переменная;  $f(x)$  — однозначная монотонная функция преобразования;

обратной статической характеристики объекта, когда на основании модели (1) ищется обратная зависимость, а именно оценка  $x$  при заданном значении  $y$ :

$$x = f^{-1}(y) = \psi(a_1, \dots, a_m, y), \quad (2)$$

где  $a_i$  — неизвестные параметры, выражаемые через параметры  $b_i$ .

Задача нахождения прямой характеристики  $f(x)$  по данным экспериментальных измерений  $x$  и  $y$  детально разработана в рамках математической статистики [1, 2] при достаточно жестких предположениях о том, что вид функции  $f(x)$  известен, а действия помех могут быть сведены к случайной, аддитивной ошибке измерения. При этом применение статистической модели целесообразно в случае, если неопределенность связана только со случайной вариабельностью. Описание других источников неопределенности в рамках этой модели затруднительно [3]. В та-

ком случае одним из возможных подходов решения проблемы является использование процедуры непараметрического регрессионного анализа [4].

Сложность решения обратной задачи в первую очередь определяется наличием ошибок в экспериментальных данных и необходимостью обращения функции преобразования объекта.

В данной работе для решения задач построения прямой (1) и обратной (2) статических характеристик объекта предлагается подход, базирующийся на аппарате интервального анализа. Для облегчения понимания его сути и обеспечения его геометрической интерпретации дальнейшее изложение проведем применительно к однофакторной линейной по параметрам модели.

**Построение прямых статических характеристик объекта.** Эта задача основана на концепции «черного ящика» (рис. 1, где  $x$  — входная переменная,  $y$  — выходная переменная объекта,  $z$  — шум, порождающий ошибки в выходной переменной,  $f(x, z)$  — статическая характеристика объекта). В ходе исследования наблюдению и измерению доступны только переменные  $x$  и  $y$ . Основой для решения задачи построения сглаживающей функции являются данные эксперимента, которые можно представить в виде множества  $\{x_i, y_i, i = 1 \dots N\}$ , содержащего  $N$  пар значений измеряемых величин  $x_i$  и  $y_i$ .

Методика построения прямых характеристик по интервальным данным включает следующие этапы.

**Выбор модели описания неопределенности.** Для получения информации о характере ошибок и их величине необходимо установить возможные типы и источники ошибок и записать математическую модель их воздействия.

В зависимости от специфики проведения эксперимента различают активный эксперимент, когда значе-

<sup>1</sup> Национальный исследовательский университет «МЭИ», Москва, Россия; e-mail: SkibitskyNV@mpei.ru

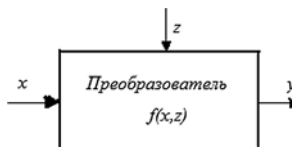


Рис. 1. Блок-схема «черного ящика»

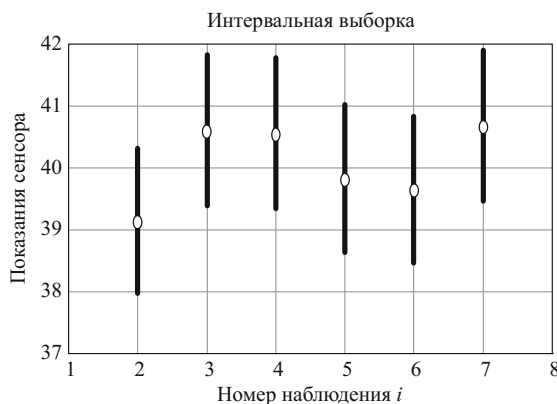


Рис. 2. Интервалы неопределенности экспериментальных данных

ния измеряемой величины  $x$  могут устанавливаться по желанию экспериментатора в соответствии с заранее выбранным планом эксперимента, и пассивный эксперимент, когда исследователь вынужден ограничиться результатами любых доступных ему наблюдений. При проведении активного эксперимента ошибками в значениях входной переменной обычно пренебрегают, так как считается, что они устанавливаются с достаточно высокой точностью. При пассивном эксперименте принимается, что ошибки присутствуют как в выходной, так и во входной переменных.

При использовании статистического подхода к построению сглаживающей функции обычно считается, что ошибками во входной переменной можно пренебречь, а модель ошибки представляется аддитивной моделью с ошибкой на выходе.

В действительности при любом типе эксперимента переменные  $x$  и  $y$  определяются с ошибками, которые могут иметь различную природу. Кроме того, механизм действия ошибок может описываться аддитивными, мультипликативными или смешанными моделями [3].

При предлагаемом интервальном подходе для определения интервалов неопределенности точечных наблюдений может использоваться любая априорная информация как статистической, так и нестатистической природы, включая результаты дублирования опытов, сведения об абсолютных и относительных ошибках, ошибках округления, а также экспертная информация.

Использование этой информации позволяет с помощью различных форм модели (1) представить экспериментальные данные в виде двух интервальных векторов —  $\mathbf{x} = ([x_1] \dots [x_i] \dots [x_N])$  и  $\mathbf{y} = ([y_1] \dots$

$[y_i] \dots [y_N])$ , которые называются интервальной выборкой размера  $N$ . При этом каждый интервал  $[x_i]$  или  $[y_i]$  определяет множество всех возможных значений переменной в данном опыте и называется интервальным наблюдением. Каждому интервальному наблюдению  $[x]$  или  $[y]$  соответствует не точка, а интервал. В зависимости от того, в какой форме и из какого источника получена информация о неопределенности величины  $x$ , встречаются три формы записи границ интервала:

границами  $x_{\min}$  и  $x_{\max}$  —

$$[x] = [x_{\min}; x_{\max}]; \quad (3a)$$

точечным значением  $x$  (серединой интервала) и абсолютной ошибкой  $\Delta$  —

$$[x] = [x - \Delta; x + \Delta]; \quad (3b)$$

точечным значением  $x$  и относительной ошибкой  $\delta = \Delta/x$  —

$$[x] = [x - \delta|x|; x + \delta|x|]. \quad (3b)$$

Представление неточных данных непосредственно границами интервала (3a) встречается, например, при экспертных опросах, а также в эмпирических таблицах. Представления (3b) и (3v) приняты, в частности, в метрологии, где  $x$  означает измеренное неточным прибором значение неизвестной измеряемой величины,  $\Delta$  — известная абсолютная ошибка измерения,  $\delta$  — известная относительная ошибка измерения.

Очевидно, что между всеми моделями существует взаимно однозначное соответствие.

На рис. 2 представлен пример интервальной выборки, полученной в ходе проведения реального эксперимента. Интервалы неопределенности  $[y_i]$  определены с помощью формулы (3b). Кружки на графике — точечные значения измерений.

Если ошибка имеет место при определении как  $x$ , так и  $y$ , то на графике зависимости  $y(x)$  наблюдения будут представлены прямоугольниками.

*Выбор вида функции.* При интервальном подходе адекватной интервальным данным считается любая функция, которая проходит через все интервальные наблюдения. Очевидно, что можно подобрать различные функции, которые удовлетворяют этому условию, например, из числа представленных в табл. 1. Все эти функции являются линейными по параметрам, т.е. могут быть записаны в виде (1), где  $\mathbf{b}$  — вектор неизвестных коэффициентов, подлежащих оцениванию.

Параметры каждой функции из заданного набора рассчитываются методом наименьших квадратов по средним точкам интервальных наблюдений. В качестве единственной функции из набора выбирается наиболее простая. Если через все интервальные наблюдения можно провести горизонтальную линию, то это свидетельствует об отсутствии связи между переменными и модель теряет смысл.

На рис. 3 отражен результат сравнения линейной, квадратичной и логарифмической функций по результатам четырех наблюдений с ошибками в обеих переменных, заданных интервалами. Каждому интервальному наблюдению соответствует прямоугольник, высота которого определяется ошибкой в переменной  $y$ , а ширина — ошибкой в переменной  $x$ . В данном эксперименте абсолютная ошибка  $\Delta_y$  во всех опытах принята постоянной, а ошибка  $\Delta_x$  — пропорциональной значениям  $x$ . Поэтому при малых значениях  $x$  прямоугольники вырождаются в вертикальные линии.

Неизвестные коэффициенты трех указанных функций рассчитаны методом наименьших квадратов с использованием средних точек интервальных наблюдений.

Как видно из рис. 3, линейная функция не пересекает ни одного интервального наблюдения, а квадратичная кривая оказывается вне первого и второго интервальных наблюдений. Следовательно, обе указанные функции непригодны для сглаживания имеющихся интервальных данных. Логарифмическая кривая проходит через все интервальные наблюдения, т.е. только она в представленном наборе функций является адекватной экспериментальным данным.

Таким образом, в рамках интервального анализа задача выбора вида функции решается достаточно просто даже при наличии ошибок в обеих переменных —  $x$  и  $y$ .

**Расчет области возможных значений коэффициентов.** Очевидно, что через интервальные наблюдения можно провести много функций заданного вида. Каждая из них имеет одну и ту же структуру, но определяется своим вектором параметров  $\mathbf{b}$ , который можно отобразить точкой в пространстве соответствующей размерности. Тогда множеству всех адекватных моделей соответствует область  $B$  всех возможных векторов  $\mathbf{b}$ , определяемая в результате решения системы линейных интервальных уравнений:

$$B = \{\mathbf{b}: \mathbf{F}\mathbf{b} = \mathbf{y}, \mathbf{F} \in [\mathbf{F}], \mathbf{y} \in [\mathbf{y}]\},$$

где  $\mathbf{b}$  — вектор искомых коэффициентов;  $[\mathbf{F}]$  — матрица интервальных значений базисных функций,  $[\mathbf{y}]$  — вектор интервальных наблюдений выходной переменной.

Множество точек области  $B$  можно получить с помощью метода Монте-Карло, генерируя различные наборы «точечных наблюдений»  $(x_i, y_i, i = 1 \dots N)$ , выбираемых внутри имеющихся интервальных наблюдений. По данным каждого из таких экспериментов рассчитывается один вектор оценок. Однако такое моделирование излишне с учетом того, что область  $B$  представляет собой выпуклый многогранник в пространстве параметров [5], что позволяет при ее описании ограничиться вычислением лишь конечного числа  $\mathbf{b}^{(j)}$  его вершин. Каждой из вершин соответствует характеристика, проходящая по границам интервальных наблюдений. В случае двух параметров эта область

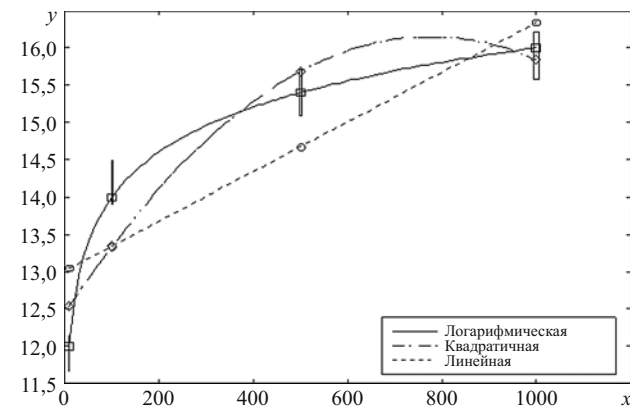


Рис. 3. Примеры описания экспериментальных интервальных данных

является выпуклым четырехугольником. Размер и соотношение осей четырехугольника близки к аналогичным размерам доверительного эллипса, определяемого при статистическом подходе. С учетом вышеупомянутой выпуклости области достаточно определить лишь координаты четырех ее вершин —  $\mathbf{b}^{(1)}, \mathbf{b}^{(2)}, \mathbf{b}^{(3)}, \mathbf{b}^{(4)}$ . При этом вершина  $\mathbf{b}^{(1)}$  рассчитывается для эксперимента, в котором переменные установлены на своих верхних границах  $x_{\max}, y_{\max}$ , а вершина  $\mathbf{b}^{(2)}$  — по данным нижних границ  $x_{\min}, y_{\min}$ . Векторы коэффициентов  $\mathbf{b}^{(3)}, \mathbf{b}^{(4)}$  определяются по двум наиболее разнесенным в области переменной  $y$  экспериментальным точкам. Отдельно вычисляется средняя точка четырехугольника  $\mathbf{b}^{(0)}$ , которой соответствует характеристика, рассчитанная с использованием центров интервальных наблюдений.

**Гипотеза о нулевом значении интервальной переменной.** Если границы интервального параметра имеют разные знаки, то это означает, что одним из возможных значений коэффициента является нуль. Таким образом, не отвергается гипотеза  $H_0: b = 0$  и, следовательно, коэффициент может быть незначимым. По этой причине при дальнейшем анализе всем интервальным коэффициентам и переменным, границы которых имеют разные знаки, присваивается нулевое значение. Иначе говоря, если полученная область  $B$  не пересекается ни с одной из координатных осей, то гипотезы  $H_0: b_j = 0$  необходимо отвергнуть для всех коэффициентов, т.е. все коэффициенты значимы, а если пересекается с одной из координатных осей, то возможным значением соответствующего коэффициента является нуль.

Таблица 1. Функции, используемые для сглаживания экспериментальных данных

№	Вид функции	Математическое описание
1	Линейная	$y = b_1 + b_2 x$
2	Квадратичная	$y = b_1 + b_2 x + b_3 x^2$
3	Степенная	$y = b_1 + b_2 x^m$
4	Логарифмическая	$y = b_1 + b_2 \log(x)$
5	Показательная	$y = b_1 \cdot 10^{b_2 x}$

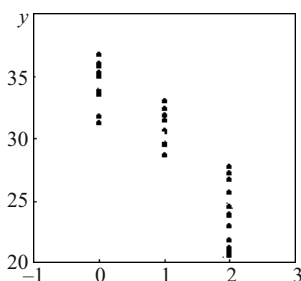


Рис. 4. Экспериментальные точки на трех уровнях

циента становится  $b_j = 0$  и он должен быть исключен из модели.

*Расчет интервала неопределенности сглаживающей кривой.* Для этой цели используются правила построения интервальной функции в соответствии с базовым принципом интервального анализа: интервал неопределенности результата есть множество всех его возможных значений, получаемых при варьировании переменных и параметров задачи в границах известных интервалов.

Тогда, если значения переменных или/и коэффициентов для функции векторного аргумента  $y = f(\mathbf{b}, \mathbf{x})$ , зависящей от вектора переменных  $\mathbf{x} \in R^k$  и вектора коэффициентов  $\mathbf{b} \in R^m$ , где  $R^k, R^m$  — пространство действительных чисел размерности  $k$  и  $m$  соответственно, заданы в интервальном виде, то ее значение при фиксированном аргументе также будет интервалом. Границы интервального значения функции определяются как ее предельные значения при изменении коэффициентов  $b_j$  и переменных  $x_i$  внутри заданных интервалов, т.е.

$$[y] = [y^-; y^+] = [y: y = f(\mathbf{b}, \mathbf{x}), \mathbf{x} \in [x], \mathbf{b} \in B].$$

При этом возможны два частных случая.

1. Точечные коэффициенты — интервальные аргументы. Тогда функцию  $y$  можно записать в виде  $[y] = f(\mathbf{b}, [x])$ . Границы  $y_{\min}, y_{\max}$  интервала неопределенности значения функции находятся как решение двух задач на экстремум:

$$y_{\min} = \min_{\mathbf{x} \in [x]} f(\mathbf{x}), \quad y_{\max} = \max_{\mathbf{x} \in [x]} f(\mathbf{x}),$$

где  $[x]$  — область возможного изменения переменных в заданных интервалах  $[x_i], i = 1, \dots, k$ . В общем случае решение задачи ищется с помощью численных методов. Для определения границ  $y_{\min}, y_{\max}$  необходимо найти наибольшее и наименьшее значения обычной функции векторного аргумента  $y = f(\mathbf{x})$ , когда ее аргументы меняются на интервале  $[X]$ .

Таблица 2. Интервальные экспериментальные данные примера

№ опыта	$[x_{i\min}, x_{i\max}]$	$[y_{i\min}, y_{i\max}]$
1	$[-0,05, 0,05]$	$[31,35, 36,75]$
2	$[0,95, 1,05]$	$[28,15, 33,55]$
3	$[1,95, 2,05]$	$[20,6, 27,8]$

2. Интервальные коэффициенты — точечные значения переменных. В этом случае интервальная функция векторного аргумента имеет вид  $y = f([\mathbf{b}], \mathbf{x})$ . Тогда для полинома с интервальными коэффициентами  $[b_i]$

$$f([\mathbf{b}], \mathbf{x}) = [b_n]x^n + [b_{n-1}]x^{n-1} + \dots + [b_0]$$

его интервальное значение при заданном положительном значении аргумента  $x$  в предположении, что все интервальные коэффициенты положительны, будет определяться выражением

$$f_{\min}(x) = b_{n_{\min}}x^n + b_{n-1_{\min}}x^{n-1} + \dots + b_{0_{\min}},$$

$$f_{\max}(x) = b_{n_{\max}}x^n + b_{n-1_{\max}}x^{n-1} + \dots + b_{0_{\max}}.$$

В случае однофакторной линейной модели в интервальном методе, в отличие от статистического подхода, границы коридора ошибок модели описываются не двумя, а четырьмя функциями  $y(\mathbf{b}^{(1)}, x), y(\mathbf{b}^{(2)}, x), y(\mathbf{b}^{(3)}, x), y(\mathbf{b}^{(4)}, x)$ , коэффициенты которых совпадают с координатами вершин области  $B$ . При этом первая пара функций описывает коридор ошибок модели внутри диапазона изменения переменной  $x$  в эксперименте, а вторая пара — коридор вне этого диапазона.

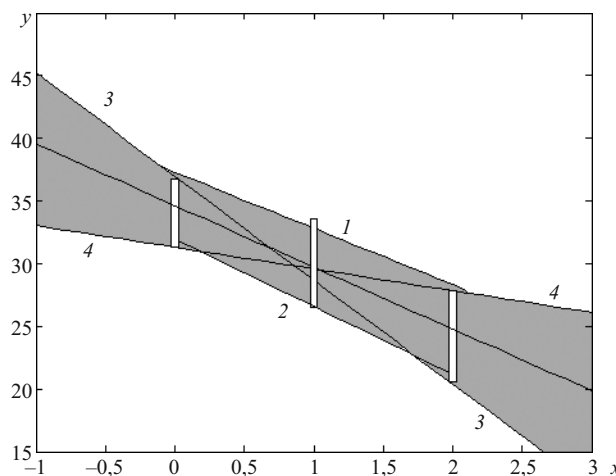
Необходимо отметить, что коридор неопределенности описывается не гладкой функцией, как при статистическом подходе, а кусочно-линейным сплайном.

*Пример.* В ходе эксперимента нормированная входная переменная менялась на трех уровнях — 0, 1, 2, каждый из которых дублировался 12 раз с ошибкой установки уровней, равной  $\Delta_x = 0,05$ , т.е. общее количество опытов  $N = 36$ . Экспериментальные точки показаны на рис. 4.

Диапазон изменения переменной  $y$  определен по результатам дублирования опытов по максимальному и минимальному ее значениям. В итоге получены интервальные данные эксперимента, представленные в табл. 2, а результаты их обработки показаны на рис. 5 (опытам в эксперименте соответствуют прямоугольные области неопределенности). Интервальные данные обрабатывали в соответствии с методикой, изложенной выше. Полученные результаты — коэффициенты уравнений четырех прямых (см. рис. 5), формирующих коридор неопределенности интервальной модели, представлены в табл. 3. Границы коридора ошибок модели имеют вид кусочно-линейных сплайнов, образованных четырьмя экстремальными прямыми  $y(\mathbf{b}^{(j)}, x)$ , коэффициенты которых определяются в вершинах области  $B$ , показанной на рис. 6. В диапазоне  $0 \leq x \leq 2$  (см. рис. 5) центральная прямая построена как полусумма границ коридора ошибок. Границы средней части коридора ошибок образуют интервальную модель

$$[y] = [31,81; 37,39] + [-5,375; -4,475]x, \quad 0 \leq x \leq 2. \quad (4)$$

Интервалы неопределенности моделей получены с использованием множества  $B$  возможных коэффициен-



**Рис. 5.** Коридор неопределенности прямой интервальной модели

тов (см. рис. 6). Для установления соответствия между рис. 5, 6 и табл. 3 вершины области  $B$  на рис. 6, функции на рис. 5 и уравнения из табл. 3 обозначены цифрами 1–4.

Учитывая, что область  $B$  не пересекает ни одну из координатных осей, можно сделать вывод, что оба коэффициента значимы.

*Гипотеза об однородности выборочных данных.* В этом случае необходимо проверить, принадлежат ли интервальные наблюдения  $[x_i]$  ( $i = 1, 2, \dots, m$ ) одной генеральной совокупности  $X$ . Поскольку однородная выборка оценивает одно и то же неизвестное значение  $x_0$ , то оно должно принадлежать всем интервальным наблюдениям. Следовательно, гипотеза об однородности интервальной выборки  $\{[x_1] \dots [x_i] \dots [x_m]\}$  принимается, если все интервальные наблюдения  $[x_i]$  пересекаются и их можно рассматривать как различные наблюдения одной и той же величины  $x$ . Это позволяет заменить интервальную выборку одним интервалом неопределенности

$$[x] = [\min(x_{i\min}), \max(x_{i\max})],$$

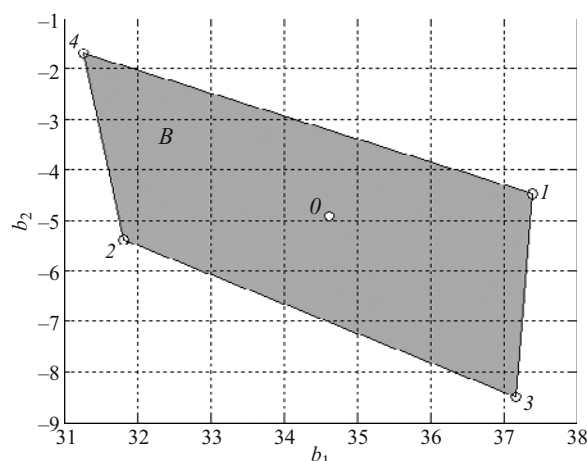
который геометрически определяется как объединение всех выборочных интервалов.

Если существует хотя бы одно наблюдение  $[x_k]$ , которое не пересекается с остальными, то гипотезу об однородности выборки необходимо отвергнуть.

### Построение обратных характеристик объекта

Данная задача в технических приложениях обычно решается для однофакторных, монотонных функций, обеспечивающих однозначность преобразования. Решение задачи построения обратной интервальной функции может быть осуществлено двумя способами, которые дают одинаковый результат.

1. *Непосредственное построение обратной функции по экспериментальным данным.* В данном



**Рис. 6.** Области изменения коэффициентов прямой интервальной модели

случае значения  $[x]$  рассматриваются как выходные, а  $[y]$  — как входные и процедура построения как точечной обратной модели, так и интервального коридора содержательно полностью совпадает с рассмотренной выше соответствующей процедурой построения прямой интервальной функции.

2. *Определение прямой функции по интервальным данным и ее обращение.* В этом случае, который рассматривается в дальнейшем, сначала по экспериментальным данным находят оценки  $\hat{b}_j$  коэффициентов прямой модели (1), а затем, например, с помощью формул табл. 4, рассчитывают оценки  $\hat{a}_j$  параметров обратной функции (2), что позволяет записать иско-мую обратную статическую характеристику в виде

$$\hat{x}(y) = \psi(\hat{a}_1 \dots \hat{a}_m, y). \quad (5)$$

Тогда множеству всех адекватных прямых моделей, определяемых выпуклой областью  $B$  всех возможных векторов  $\hat{\mathbf{b}}$ , имеющей в случае двух параметров вид замкнутого четырехугольника с координатами вершин  $\hat{\mathbf{b}}^{(1)}, \hat{\mathbf{b}}^{(2)}, \hat{\mathbf{b}}^{(3)}, \hat{\mathbf{b}}^{(4)}$ , соответствуют векторы  $\hat{\mathbf{a}}^{(j)} \in A$ , определяющие четыре обратных модели

$$x(\hat{\mathbf{a}}^{(1)}, y), x(\hat{\mathbf{a}}^{(2)}, y), x(\hat{\mathbf{a}}^{(3)}, y), x(\hat{\mathbf{a}}^{(4)}, y)$$

**Таблица 3.** Результаты обработки экспериментальных данных

Номер граничного уравнения	Модель $y = b_1 + b_2 x$		Точки эксперимента
	$b_1$	$b_2$	
1	37,39	-4,475	$x_{i\max}, y_{i\max}, i = 1 \dots 3$
2	31,81	-5,375	$x_{i\min}, y_{i\min}, i = 1 \dots 3$
3	37,17	-8,500	$(x_{1\max}, y_{1\max}), (x_{3\min}, y_{3\min})$
4	31,26	-1,690	$(x_{1\min}, y_{1\min}), (x_{3\max}, y_{3\max})$
0	34,62	-4,925	$\bar{x}_i, \bar{y}_i, i = 1 \dots 3$

и задающие коридор возможных ошибок обратной функции, т.е. ее интервал неопределенности

$$[x(y)] = [x_{\min}(y); x_{\max}(y)].$$

Границы интервала неопределенности обратной функции определяются выражением

$$x_{\min}(y) = \min_y \{x(\hat{\mathbf{a}}^{(1)}, y), x(\hat{\mathbf{a}}^{(2)}, y), x(\hat{\mathbf{a}}^{(3)}, y), x(\hat{\mathbf{a}}^{(4)}, y)\},$$

$$x_{\max}(y) = \max_y \{x(\hat{\mathbf{a}}^{(1)}, y), x(\hat{\mathbf{a}}^{(2)}, y), x(\hat{\mathbf{a}}^{(3)}, y), x(\hat{\mathbf{a}}^{(4)}, y)\}.$$

Предсказанное значение рассчитывается по формуле

$$\hat{x}(y) = 0,5\{x_{\min}(y) + x_{\max}(y)\}.$$

Из-за наличия ошибок эксперимента оценки  $\hat{\mathbf{b}}^{(j)}$  и, следовательно, оценки  $\hat{\mathbf{a}}^{(j)}$  являются неточными. В силу этого предсказанное по функции (5) значение  $\hat{x}(y)$  будет также содержать неизбежные ошибки. Из-за существенной нелинейности обратного преобразования модель ошибки обратной характеристики является очень сложной и не может быть описана в терминах абсолютной или относительной ошибки фиксированной кривой (5). В этом случае наиболее полной характеристикой точности ее описания является интервал неопределенности

$$x_{\min}(y) \leq x(y) \leq x_{\max}(y), \quad (6)$$

где  $x(y)$  — неизвестное точное значение измеряемой величины;  $x_{\min}(y), x_{\max}(y)$  — нижняя и верхняя границы ее возможных значений.

Сравнение прямых и соответствующих обратных функций в табл. 4 показывает, что только в линейном случае виды прямой и обратной моделей совпадают и формулы пересчета коэффициентов оказываются

достаточно простыми. В остальных случаях обратное преобразование приводит к изменению структуры функции. Его особенности рассмотрены в [3].

Проиллюстрируем схему применения двухэтапной процедуры построения обратной функции на примере линейной функции в рамках рассмотренного выше примера. Интервальные экспериментальные данные представлены в табл. 2. Опытам в эксперименте соответствуют прямоугольные области неопределенности. Прямая интервальная модель в области эксперимента описана выражением (4), границы коридора ошибок прямой модели имеют вид кусочно-линейных функций, образованных четырьмя экстремальными прямыми, коэффициенты которых задаются векторами  $\mathbf{b}^{(i)}, i = 1 \dots 4$ .

Учитывая взаимно однозначное соответствие между переменными, на основе модели (4) легко получить обратную интервальную модель

$$[x] = -[b_1]/[b_2] + (-1/[b_2]y) = a_1 + a_2y, \quad (7)$$

которая в области эксперимента имеет вид

$$[x] = [5,917; 8,357] + [-0,223; -0,186]y$$

и является искомой обратной функцией.

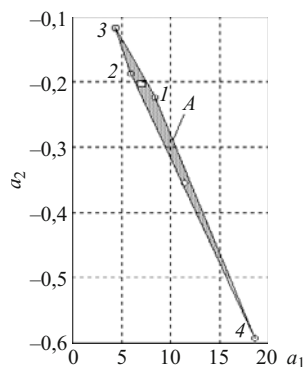
В табл. 5 представлены коэффициенты уравнений пяти прямых, формирующих коридор неопределенности прямой и обратной интервальных моделей. Точки  $\mathbf{b}^{(i)}, \mathbf{a}^{(i)}, i = 1 \dots 4$ , задают границы прямой и обратной интервальных моделей, а  $\mathbf{b}^{(0)}$  и  $\mathbf{a}^{(0)}$  — центральную прямую. Координаты четырех вершин  $\mathbf{a}^{(i)}$  в табл. 5 найдены по формулам табл. 4 преобразованием координат соответствующих вершин области  $B$ . В последнем столбце табл. 5 показано, какие экспериментальные значения использовались при расчете коэффициентов. В частности, модель № 0 рассчитана по трем средним интервальным значениям переменных.

**Таблица 4.** Типовые сглаживающие функции

№	Прямая функция	Обратная функция	Формулы пересчета
1	Линейная $u = b_1 + b_2z$	Линейная $z = a_1 + a_2u$	$a_1 = -b_1/b_2, a_2 = 1/b_2$
2	Логарифмическая $u = b_1 + b_2 \log(z)$	Показательная $z = a_1 \cdot 10^{a_2 u}$	$a_1 = 10^{-b_1/b_2}, a_2 = 10^{1/b_2}$
3	Степенная $u = b_1 + b_2 z^m$	Нелинейная $z = (a_1 + a_2 u)^{1/m}$	$a_1 = -b_1/b_2, a_2 = 1/b_2$
4	Квадратичная $u = b_1 + b_2 z + b_3 z^2$	Нелинейная $z = a_1 + \sqrt{a_2 u + a_3}$	$a_1 = -\frac{b_2}{2b_3}, a_2 = \frac{1}{b_3}, a_3 = \left(\frac{b_2}{b_3}\right)^2 - \frac{b_1}{b_3}$

**Таблица 5.** Результаты обработки экспериментальных данных

Номер граничного уравнения/вершины области коэффициентов	Прямая модель $y = b_1 + b_2x$		Обратная модель $x = a_1 + a_2y$		Точки эксперимента
	$b_1$	$b_2$	$a_1$	$a_2$	
$1/[b^{(1)}/a^{(1)}]$	37,39	-4,475	8,357	-0,223	$x_{i\max}, y_{i\max}, i = 1 \dots 3$
$2/[b^{(2)}/a^{(2)}]$	31,81	-5,375	5,917	-0,186	$x_{i\min}, y_{i\min}, i = 1 \dots 3$
$3/[b^{(3)}/a^{(3)}]$	37,17	-8,500	4,373	-0,117	$(x_{1\max}, y_{1\max}), (x_{3\min}, y_{3\min})$
$4/[b^{(4)}/a^{(4)}]$	31,26	-1,690	18,495	-0,591	$(x_{1\min}, y_{1\min}), (x_{3\max}, y_{3\max})$
$0/[b^{(0)}/a^{(0)}]$	34,62	-4,925	7,030	-0,203	$\bar{x}_i, \bar{y}_i, i = 1 \dots 3$



**Рис. 7.** Область коэффициентов обратной интервальной модели

Область коэффициентов обратной интервальной модели представлена на рис. 7. Учитывая, что область  $A$  не пересекает ни одну из координатных осей, можно сделать вывод, что оба коэффициента обратной модели значимы.

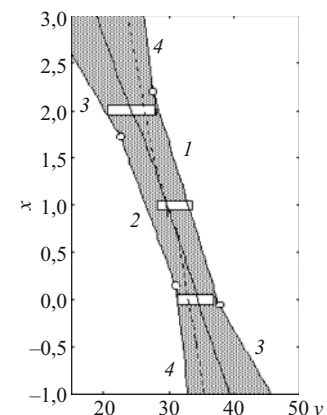
На рис. 8 показан интервал неопределенности обратной модели, полученный с использованием множества возможных коэффициентов, представленных на рис. 7. Каждый вектор коэффициентов получен с помощью МНК, а прямые проведены через экстремальные точки, координаты которых представлены в последнем столбце табл. 5. Граница № 1 (см. рис. 8) определяется вектором  $\mathbf{a}^{(1)}$ , граница № 2 — вектором  $\mathbf{a}^{(2)}$  и т.д.

Таким образом, разработан подход к решению актуальной задачи построения как прямой, так и обратной статических характеристик объекта, основанный на применении аппарата интервального анализа и позволяющий получить математические модели по неточным экспериментальным данным, неопределенность которых может иметь разные источники и природу.

Предложенный подход не требует задания плотности распределения, поэтому лишен методологических недостатков при интеграции погрешностей, вызванных как случайной вариабельностью, так и источниками нестатистической природы. Это дает возможность рассматривать любую априорную информацию об ошибках как во входной, так и в выходной переменных, описывать различные источники неопределенности, включая систематические ошибки, ошибки округления, экспертную информацию и т.п.

Предложенный подход обеспечивает расчет точечных прямой и обратной функций, а также гарантированного интервала неопределенности.

Полученные интервальным методом обратные статические характеристики могут быть использова-



**Рис. 8.** Коридор ошибок обратной интервальной модели

ны для решения широкого класса задач, в частности, для анализа следящих систем и построения калибривочных характеристик измерительных систем.

Применение интервального подхода позволяет снять многие проблемы и методические сложности, возникающие при решении прикладных задач статистическими методами. Полученные на его базе результаты имеют ясную и четкую интерпретацию в терминах интервалов и областей неопределенности.

## ЛИТЕРАТУРА

1. Химмельбау Д. Анализ процессов статистическими методами. — М.: Мир, 1973. — 948 с.
2. Демиденко Е. З. Линейная и нелинейная регрессия. — М.: Финансы и статистика, 1981. — 302 с.
3. Скибицкий Н. В. О применимости статистического подхода к построению прямых и обратных характеристик объекта / Заводская лаборатория. Диагностика материалов. 2016. Т. 82. № 11. С. 67 — 75.
4. Орлов А. И. Прикладная статистика. — М.: Экзамен, 2006. — 671 с.
5. Вощинин А. П., Бочков А. Ф., Сотиров Г. Р. Интервальный анализ данных как альтернатива регрессионному анализу / Заводская лаборатория. 1990. Т. 56. № 7. С. 77 — 81.

## REFERENCES

1. Himmelblau D. M. Process Analysis by Statistical Methods. — New York: John Wiley & Sons, Inc., 1970.
2. Demidenko E. Z. Lineinaya i nelineinaya regressiya [Linear and nonlinear regression]. — Moscow: Finansy i statistika, 1981. — 302 p. [in Russian].
3. Skibitskii N. V. O primenimosti statisticheskogo podkhoda k postroeniyu pryamykh i obratnykh kharakteristik ob"ekta [Application of the statistical approach to construction of direct and inverse characteristics of the object] / Zavod. Lab. Diagn. Mater. 2016. Vol. 82. N 11. P. 67 — 75 [in Russian].
4. Orlov A. I. Prikladnaya statistika [Applied statistics]. — Moscow: Ékzamen, 2006. — 671 p. [in Russian].
5. Voschinnin A. P., Bochkov A. F., Sotirov G. R. Interval'nyi analiz dannykh kak al'ternativa regressionnomu analizu [Interval analysis of data as an alternative to regression analysis] / Zavod. Lab. 1990. Vol. 56. N 7. P. 77 — 81 [in Russian].